

降雨後の表層不飽和帯水分の挙動について

東京大学生産技術研究所 正員 虫明 功臣

○小池 雅洋

岡 泰道

1. まえがき

筆者らは、多摩丘陵長池試験流域の自然林地内に深度別(5, 15, 25, 35, 50, 65, 80, 100, 120, 140, 160, 180, 200cm)にテンシオメータを埋設し不飽和帯の圧力ポテンシャルを継続的に観測している。

本稿ではこれらの観測記録に基づき降雨後の不飽和帯の水理ポテンシャルプロファイルを検討し、更にpF水分曲線を用いて降雨後の日毎の水分減少量(蒸発散量+浸透量)を求め、水理ポテンシャルから蒸発散量の推定の可能性について検討した。

2. 降雨後の不飽和帯水分の挙動

2-1. 水理ポテンシャルの経日変化の特徴

深度別の水理ポテンシャル(圧力ポテンシャル+位置ポテンシャル)の経日変化を図1-(a),(b),(c)に示す。(a)は降雨後2日目、(b)は5日目から、(c)は(b)の最終記録取得後に187.0mmの降雨がありその翌日からの変化を示す。テンシオメータの記録は午前9時の値を読み取った。図中、水理ポテンシャル0から45の実線は飽和(pF0)を示し、破線は吸引圧pF1.8に当たる。この間にある水理ポテンシャルはいづれも下方に減少を示し、水分は常に下向きに移動していることから、この範囲の水は重力水である。図1-(b)、(c)および他のポテンシャル図から判断して、吸引圧pF1.9前後が重力水の限界と考えられる。(c)については、(b)図で見るよう22日9時にはかなり脱水していたにもかかわらず同日から翌日にかけての187mmの豪雨によって、ほとんどすべての深度が重力水の範囲に入っている。しかし、飽和域の発生は見られない。

経日変化に着目すると各深度とも序々に水理ポテンシャルが減少し脱水が進んでいる。その変化を深度別に見ると120cm以深では変化が小さく常に下向きのフラックスであるのに対して、5~35cmでは変化が大きく降雨後早い時点より下向きのフラックスが上向きのフラックスに変わっている。50~100cmでは水理ポテン

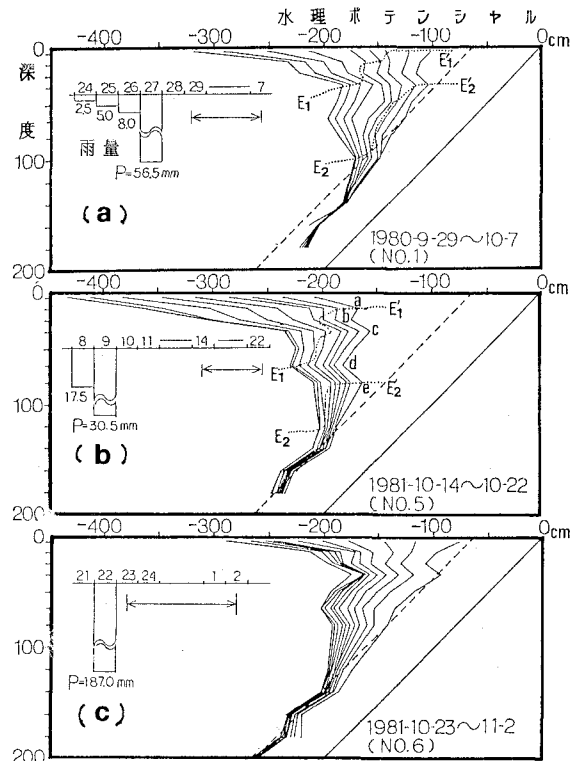


図1. 水理ポテンシャルプロファイル

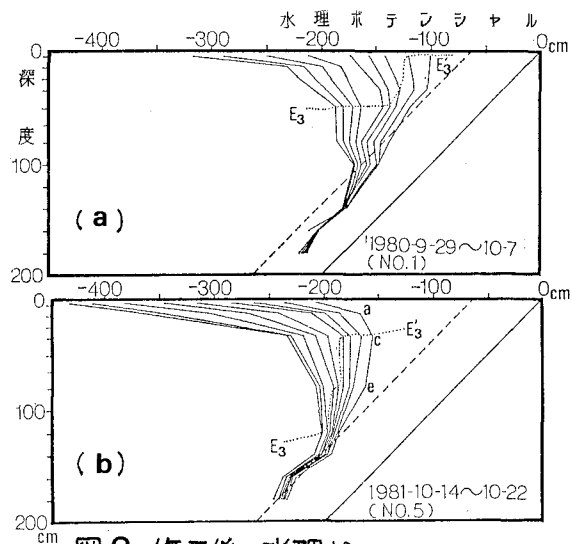


図2. 修正後の水理ポテンシャルプロファイル

シャルは両者の中間的変化を示し、フラックスは上層のポテンシャルの減少に対応して序々に上向きに変化するという特徴がみられる。浅層が上向きフラックスになるのは、地表面からの蒸発散によって不飽和帶水分が減少するためであり、減少した水分が下層から供給されて、蒸発散の影響が時間の経過とともに序々に下方に進んでいる。

2-2. 水分量の経日変化の特徴

観測によって得られる圧力ポテンシャル値は pF -水分曲線によって体積含水率に換算できる。深度 50cm 以深の pF -水分曲線ではヒステリシスの影響が小さいが、深度 5~35cm では影響が大きいことから含水率の換算にはヒステリシス効果を考慮した方法をとった。不飽和帶水分の日変化量 (ΔM_s) は次式で表わされる。

$$\Delta M_s = \sum_i a_i (\theta_{i,t} - \theta_{i,t-1})$$

$\theta_{i,t}$: t 日における深度 i 地点の体積含水率

a_i : 深度 i のテンシオメータの代表土柱

同一深度の含水率変化は一解釈期間でポテンシャル変化の大きい浅層でも 3~4% 程度である。不飽和帶水分の日変化量は計算する深度によって異なるが 0.2~14.8mm である。日変化量は蒸発散と浸透によるものであり、両者を分離するには水理ポテンシャル・プロファイルから判断しなければならない。

3. 日蒸発散量の推定

3-1. 水理ポテンシャル・プロファイルの修正

図 1-(a), (b), (c) を詳細にみると深度 25, 35, 80cm の一部に水理ポテンシャル勾配が \backslash 型になっている個所一例えば図 1-(b) の b 層, d 層が見られる。この図から判断すると b, d 層にそれぞれ上下層からの水分が集中していることになる。それにもかかわらず b, d 層は脱水しているという矛盾が生じる。これは観測誤差によるものと考えられるが、本稿では b, d の観測値を無視して図 2-(b) の ace のように修正を試みた。なお、現在のところ b, d の値だけを単純に無視することにも問題が残るので、比較のため観測記録を忠実に解釈して上向きフラックスと下向きフラックスの境界を見つけ、上向きフラックス部分の ΔM_s も計算した。図 1-(a), (b) に示す $E_1-E'_1$, $E_2-E'_2$ が修正前の蒸発散に関与する深度、図 2-(a), (b) の $E_3-E'_3$ が修正後の蒸発散に関与する深度を示す。

3-2. 推定日蒸発散量とパン蒸発量の比較

水理ポテンシャル・プロファイルの修正前と後の上向きフラックス部の日変化量 (ΔM_s) は、日蒸発散量に等しいと考え前述の方法によって推定した。これらの推定値とパン蒸発量に 0.7 を掛けた値 (E_p) を比較したのが図 3-(a), (b) である。水面から蒸発しているパン蒸発量と地表面からの蒸発散量とでは直接比較することはできないが、上向きフラックス部を大きくとった $E_2-E'_2$ と小さくとった $E_1-E'_1$ の間に E_p があり、修正後の $E_3-E'_3$ はパン蒸発量の値に近づく傾向を示している。

以上から、テンシオメータにより圧力ポテンシャルを精度よく測定できれば、その記録を基に蒸発散量および浸透量の算定が不可能ではないと考えられる。

参考文献 1) Mualem, Y., A conceptual model of hysteresis. Water Resour. Res., 10(3), 514-520, 1974

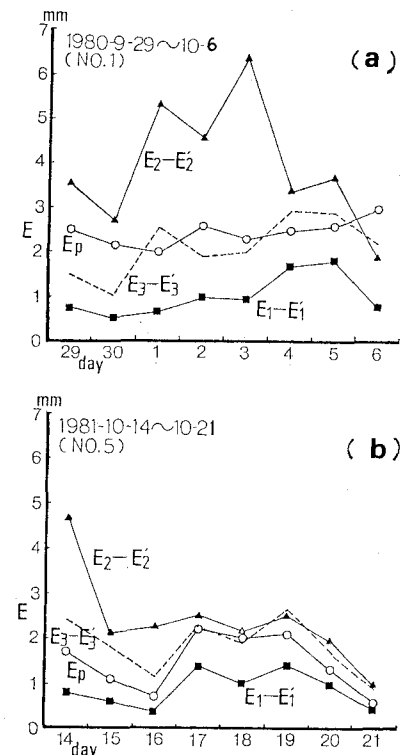


図 3 推定日蒸発散量と
パン蒸発量の比較